Позаченюк Е.А., Баранов И.П. ПРОЯВЛЕНИЯ ГЕОАКТИВНЫХ СТРУКТУР В ЛАНДШАФТЕ

В последнее время в научной литературе всё чаще поднимается вопрос о связи неких прямолнейных структур с ландшафтом. Разными авторами они классифицируются по определённым признакам и, в зависимости от проявления в природе, имеют свои названия: геоактивные структуры, линеаменты, геофлюидодинамические структуры, геобиологические сетки и др.

В данной статье рассмотрены геоактивные структуры (ГАС) - зоны активного воздействия на окружающую среду. Все они представляют собой системы линий-полос двух направлений, противоположно друг другу. Так, по Г.И.Швебсу [6] эти образования по своим размерам и распространённости имеют следующую классификацию: глобальные, региональные и локальные. Их природа пока ещё не совсем известна. В их пределах наблюдается изменение характеристик геофизических полей. Люди, животные и растения в их пределах в основном испытывают дискомфорт. Оказывают прямое или косвенное влияние на компоненты ландшафта [4]. Однако то, что они существуют и выполняют свою определённую функцию на Земле, находит свои подтверждения в работах В.М. Перервы [4], Е.А. Позаченюк[5], И. Павловца и др. Так, например, выявленные геологом В.М. Перервой при дешифровании снимков из космоса земной поверхности, линии-полосы относятся к структурам глобального и регионального масштабов. Данные структуры, названные учёным геофлюидодинамическими, имеют, предположительно, глубинную природу. На поверхности Земли их влияние в основном простирается на рельеф, гидросеть и биоту. Разуплотнение горных пород в данных районах приводит к прогрессированию экзогенных процессов и образованию отрицательных форм рельефа. Способствует развитию овражно-балочных, карстовых и оползневых форм. В их зоне отмечены физические, гео- и биохимические аномалии. Простирание линий не обусловлено тектоническим строением территории (будь-то геосинклиналь или платформа). Они принимают активное участие в формировании ландшафтов подов и степных блюдец [5]. Расстояние между линиями этих структур составляет от нескольких десятков до нескольких сотен километров.

К структурам локального типа относятся геоактивные сетки, расстояние между линиями которых составляет от 2 до 40-50 м, а ширина – от 0,15 до 40 м. Наиболее известными считаются структуры, названыые по фамилиям исследовавших их немецких учёных-медиков – Хартмана, Витмана и Курри. Линии первых двух структур простираются с севера на юг и с запада на восток. Расстояния между ними для ГАС Хартмана, по данным их исследователя, составляют 2,0 х 2,5 м., для ГАС Витмана 16 х 16 м. Линии ГАС Курри направлены приблизительно с северо-востока на юго-запад и с северо-запада на юго-восток. Расстояние между линиями этой структуры составляет 3,5, 7,5, и 15 м. Менее известными считаются ГАС Пейро, линии которых направлены по основным четырём сторонам света, а расстояние между ними – 4 м. Так же имеются единичные данные о структурах с другими морфохарактеристиками и известными только в определённых кругах, но они малоинформативны. Поэтому данные, полученные авторами в ходе исследования новых ГАС, имеют название по расстоянию между их линиями: «шестиметровые», «четырёхметровые» и «десятиметровые». А так же в пределах Крымского полуострова авторами статьи была открыта новая структура – Крымская. Её основные характеристики: расстояние между линиями – 20-40 м и их ширина так же достигает размеров 20-40 м.

В данном исследовании ставились следующие задачи: найти связь между геоактивными структурами (ГАС) и геофизическими полями, выявить роль ГАС в формировании ландшафтов Земли. В целях получения полной и объективной картины в пределах Крымского полуострова, на двух временных площадках в Джанкойском районе и четырёх стационарных: в г. Симферополе, пос. Перевальное, пригороде Алушты и с. Победное Джанкойского района вёлся мониторинг геоактивных линий и влияния их на ландшафт.

Использовались следующие методы: биолокационный, для определения положения геомагнитных линий; измерения электросопротивления почв и измерения интенсивности электромагнитного поля Земли в пределах геоактивных структур. В работах [1, 2, 3 и др.] авторами дано подробное описание исследований по данному направлению и доказана эффективность биолокационного метода в изучении локальных геоактивных полей Земли. Сетки ГАС образованы линиями двух направлений, почти перпендикулярно друг к другу. Всего исследовалось семь структур, каждая из которых отличается направлением и шириной линий, расстоянием между ними и другими характеристиками. На рис.1 показано расположение некоторых геоактивных структур. В действительности, линии ГАС как стены, выходя на дневную поверхность из недр Земли, уходят ввысь (максимальная высота измерений – 12–14 м).

Ниже приведены основные морфометрические характеристики семи геоактивных структур (ГАС) по монтиторинговым площадкам (табл. 1) и по сезонам года (табл. 2) – расстояние между линиями и их ширина.

Анализируя данные материалов, была выявлена зависимость между линиями ГАС. С изменением расстояний между линиями и их ширины определённой структуры на одной территории, синхронно изменялись характеристики других ГАС. Наиболее сильная зависимость существует между структурами Хартмана, Курри, десятиметровыми, Витмана и Крымской. С изменением расстояния между линиями «десятиметровых» структур пропорционально менялось расстояние и между линиями Курри, корреляционная зависимость составила 0,98; линиями Витмана и Крымской линией 0,83; Курри и Витмана 0,86. В течение года связь между структурами не меняется. По ГАС Хартмана и Курри (расстояние между линиями) в

с.Победное коэффициент корреляции составил—0,96; для ГЭМС Хартмана (пос. Перевальное) и Витмана (с. Победное) 0,96; между линиями Хартмана в г. Алуште и в пос. Перевальное 0,99 и между линиями Витмана в г.Симферополе и пос. Перевальное он составил 0,90. Можно предположить, что все эти структуры имеют нечто общее в своём происхождении.

Исследование геоактивных структур биолокационым методом на разных уровнях высоты дало дополнительную информацию об их пространственном размещении. Ранее было отмечено [1, 2, 3,], что в течение суток линии мигрируют - в утренние часы они начинают своё движение в одном из направлений, а к вечеру возвращаются в исходную позицию. В поисках разгадки этого поведения ГАС, были проведены замеры положения линий на высоте 1 м и 0,05 м. Эксперимент показал, что в утренние и вечерние часы линии стабильны и находятся перпендикулярно к поверхности Земли. К полудню отмечается смещение под определённым углом как на метровой высоте, так и на уровне топоповерхности. К вечеру линии «возвращаются» в первоначальное положение (рис. 2). Внешне этот процесс напоминает раскрывающийся цветок. Так наиболее мощные линии определённой структуры имеют несколько «отводов» и, подобно цветку, в течение суток то раскрываются, то вновь собираются. Это даёт возможность определить, на какой глубине или высоте находится их гипоцентр. Вероятно, ведущую роль в этом процессе играет солнечная радиация. Так на примере ГАС Крымская была найдена связь между её характеристиками (скорость миграции линий) и солнечной активностью (3): чем больше пятен образовывалось на солнечном диске, тем більше скорость смещения.

ГАС выявляются не только биолокационным методом, с помощью рамки-биотензора, но и физическими приборами. В течение года - с осени 2000г. по осень 2002 г. параллельно с биолокационной съёмкой, велись измерения электропроводности почвы и интенсивности электромагнитного поля Земли. Измерения проводились как площадным и трансектовым методами - с целью выявления геомагнитных структур на фоне общих электромагнитных и электрических полей, так и детальным по каждой линии. На одной и той же территории съёмки были проведены в разное время суток. Исследования показали, что в пределах ГАС интесивность электромагнитного поля Земли в большинстве случаев повышена, а электропроводность почвы понижена. Так же было выявлено, что каждая структура в течение суток имеет свои часы активности и пассивности, которые повторяются каждый день с незначительными погрешностями во времени (табл. 3). При подсчёте среднего значения в пределах каждой структуры была выявлена зависимость электропроводности почвы от среднего расстояния между линиями каждой структуры с коэффициентом корреляции -0,89; а между электропроводностью почвы и шириной линий коэффициент корреляции составил -0,85. Это говорит о том, что при увеличении расстояния между линиями ГАС и их ширины, электропроводимость почвенного покрова в их пределах падает. Примером этой связи могут служить измерения эелектропроводности почвы по двум пересекающимся линиям Витмана. Замеры были произведены на каждой линии до её пересечения друг с другом и в узле. Так среднее значение по северной линии составило 0.078×10^{-3} Сим, по западной -0.097×10^{-3} Сим, а в узле -0.087×10^{-3} Сим, что фактически является средним арифметическим показателем двух линий. Как известно, лучшей электропроводимостью обладают почвы с высокой влажностью. Можно предположить, что в аридных условиях, при незначительной электропроводимости почв расстояние между линиями ГАС и их ширина увеличиваются, а во влажных – уменьшаются.

Измерения интенсивности электромагнитного поля Земли велись прибором-счётчиком импульсов геомагнитного поля. Автором метода данного измерения является доктор геолого-минералогических наук В.Н. Саломатин. По результатам съёмок было установлена связь электромагнитного поля и геоактивных структур (рис. 3), динамичность ГАС, их активность во времени и корреляционная зависимость между отдельными структурами (табл. 4), что подтверждает их общую природу.

Между ГАС отмечена иерархичность по интенсивности их электромагнитного поля, в имп/сек: Витман -897; 10-метровые -831; 6-метровые -810; 4-метровые -805; Крымская -543 (в течение одного дня).

Из всех геомагнитных структур особого внимания заслуживает Крымская. Ввиду её внушительных размеров можно проследить связь ГАС с ландшафтом. Так, на примере данной структуры, была выявлена корреляционная зависимость параметров Крымской линии от климатических характеристик полуострова и абсолютной высоты местности [3]. Подтверждение этой связи и по другим ГАС (табл. 5) ещё раз доказывает причастность структур к ландшафту. Только остаётся открытым вопрос о том, что является первичным - климат, влияющий на ГАС или геоактивные структуры являются климатообразующим фактором ландшафта.

Как известно, растительность – есть результат взаимодействия природных факторов ландшафта и является индикатором любых изменений в нём. Исследования Крымской структуры в Присивашье выявили зависимость распределения растительного покрова от расположения узлов пересечения её линий. В их пределах численность полыни обыкновенной, синеголовника, коровяка и др. увеличивается или встречается только здесь. Можно ли увидеть такую закономерность и в отношении остальных геоактивных структур?

С этой целью в с. Победное, в долине реки с одноименным названием были выбраны 2 мониторинговые площадки, размером 50х50 м, на которых проводились электромагнитная, биолокационная и геоботаническая съёмки, итоги которых приведены в табл. 6. После подсчёта числа растений данного вида, находящихся на линиях ГАС или вне их пределов, был подсчитан коэффициент вида (Кв), показывающий во

сколько раз данный вид чаще или реже встречается на этих структурах, чем на остальной площади.

Из таблицы видно, что геоактивные структуры играют немаловажную роль в распределении отдельных видов растений на поверхности Земли, наряду с другими ландшафтообразующими факторами. Особого внимания заслуживают данные о муравейниках. В ландшафте эти постройки как правило расположены прямо на линиях геоактивных структур, перед пересечением с перпендикулярной им линией.

Однако наибольшей загадкой является наличие сильной корреляционной зависимости расстояний между линиями ГАС и удалённостью планет нашей системы от Солнца (табл. 7).

Как видно из таблицы, каждой структуре соответствует своя планета. Их связь пока остаётся загадкой. Так же неизвестно, какая планета соответствует «шестиметровой» ГАС. Вероятно, что одна из этих структур соотносятся с малой планетой Солнечной системы –Луной, играющую заметную роль в эволюции нашей планеты.

Подводя итоги можно сделать следующие выводы:

- 1. Наша планета покрыта сетью геоактивных структур (ГАС) разного порядка, играющих роль носителя информации о ландшафте и образующих его компонентах.
- 2. ГАС выявляются не только биолокационным методом, но и физическими приборами.
- 3. В системе ГАС чётко выделяется иерархичность по мощности и интенсивности их электромагнитного поля. Самая активная структура ГАС Витмана, а менее ГАС Крымская. Причём, последняя является своеобразным глушителем активности других структур, находящихся в её пределах.
- 4. Все ГАС имеют в течение суток свои часы активности. Наиболее «активными» часами в Присивашье являются с 13 до14 и с 19 до 20.
- 5. Геоактивные структуры динамичны как в пространстве, так и во времени. В утренние часы они начинают смещаться в определённом направлении, а к вечеру возвращаются на прежнее место.
- 6. Между структурами разного порядка выявлена корреляционная связь, что подтверждает их общую природу.
- 7. Изменение таких параметров ГАС (расстояние между линиями и их ширина) на территории Крымского полуострова коррелируется с климатическими характеристиками районов исследования и их абсолютной высотой.
- 8. В пределах структур отмечено увеличение видов отдельных растений и числа степных муравейников.
- 9. Средние расстояния между линиями различных ГАС коррелируются с расстоянием планет от Солнца (Хартман Меркурий; «четырёхметровая» Венера; «шестиметровая» Земля; Курри Луна; «десятиметровая» Марс; Витман пояс астероидов; Крымская Юпитер).

Источники и литература

- 1. Баранов И.П. Применение метода естественного импульсного электромагнитного поля Земли в изучении ландшафтов Крыма. // Учёные записки ТНУ им. В.И.Вернадского. Т.14 (52). №1. Симферополь: ТНУ, 2001. С.12 17.
- 2. Баранов И.П., Позаченюк Е.А. Мониторинг геоактивных структур ландшафтов Крыма// Эниология №2. Одесса, 2001.
- 3. Баранов И.П. Крымская линия. // Культура народов Причерноморья. №31. Симферополь: ТНУ, 2002.
- 4. Перерва В.М. Геофлюидодинамические структуры литосферы и современные ландшафты. // Украінський географічний журнал. №4. Киев, 2000. С. 12-18.
- 5. Позаченюк Е.А. Влияние геоактивных структур на компоненты ландшафта и его структуру. // Культура народов Причерноморья. №26. Симферополь: ТНУ, 2002. С. 64-69.
- 6. Швебс Г.И. Введение в эниогеографию. Кн. 1. Эниоземлеведение. Одесса, 2000, 253 с.

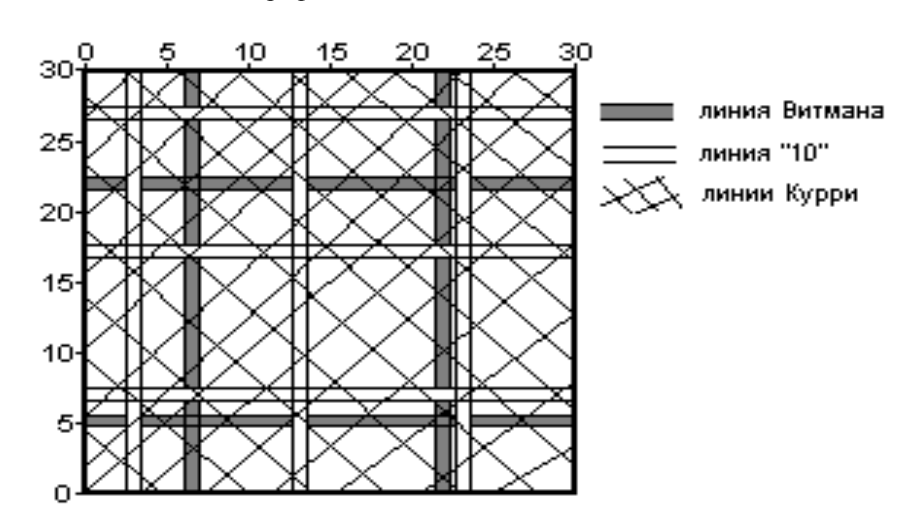


Рис. 1. Схема расположения геоактивных структур.

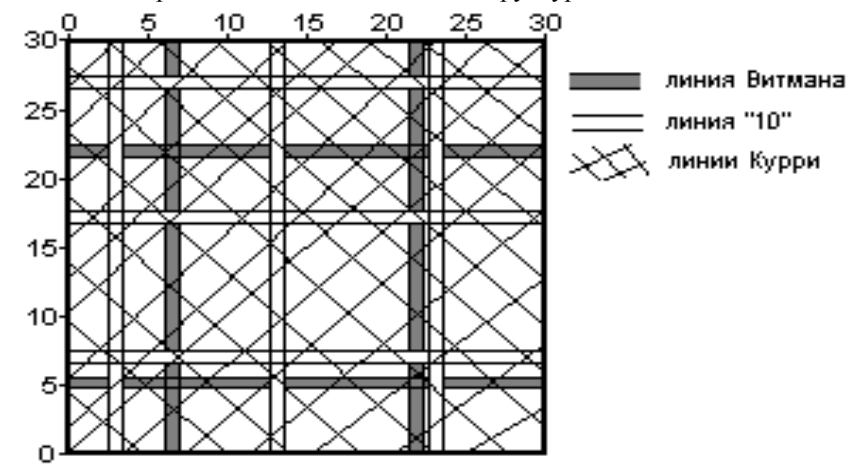


Рис.2

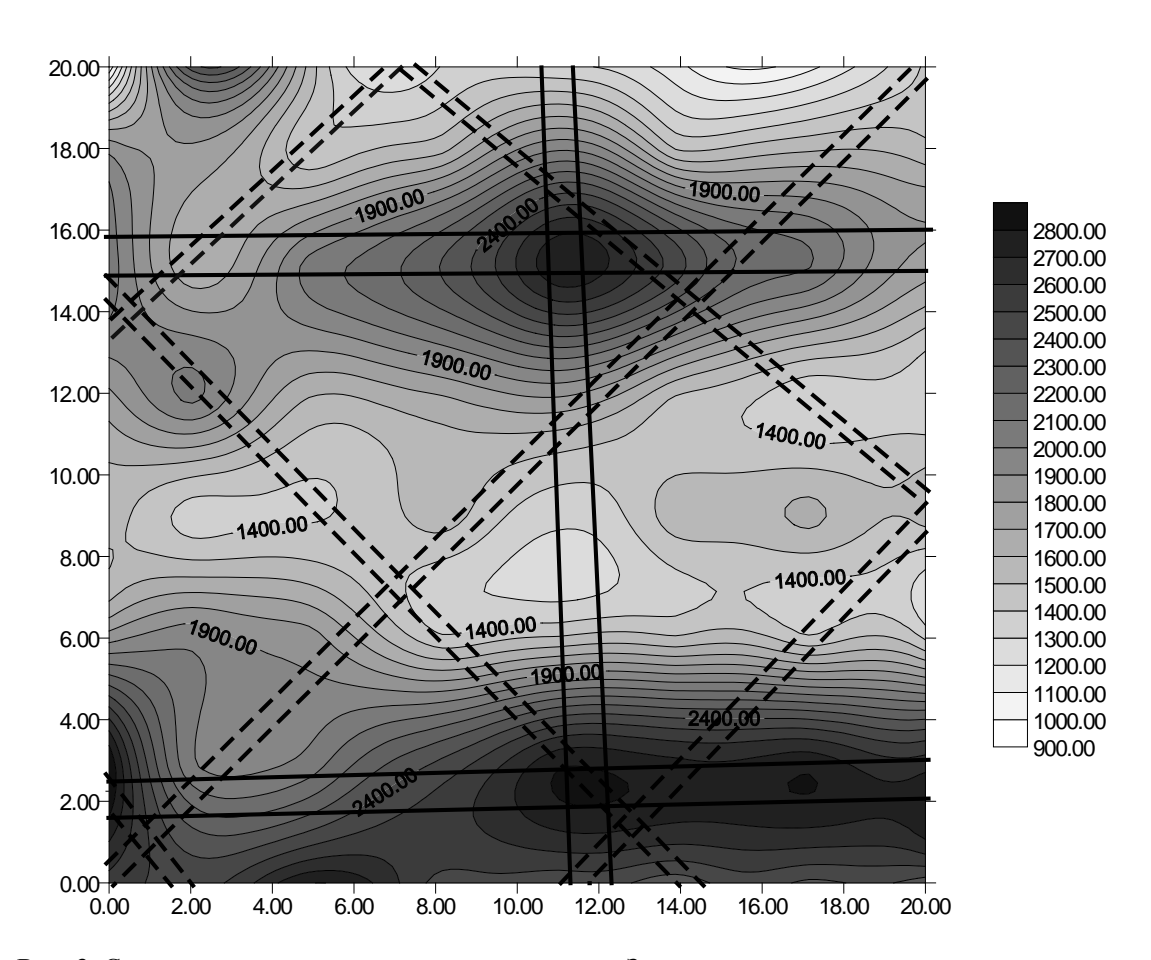


Рис. 3. Схема импульсного электромагнитного поля Земли и геоактивных структур мониториногового <u>участка</u> г. Алушты.

- линии Витмана;

📘 📘 🖰 - линии Курри.

Таблица №1. Морфометрические характеристики ГАС по мониторинговым площадкам Крыма.

Участок	с. Победное		г. Симферополь		п. Перевальное		г. Алушта		Среднее	
Пара-	Расстоя-	Ширина,	Расстоя-	Ширина,	Расстоя-	Ширина,	Расстоя-	Ширина,	Расстоя-	Ширина,
метры	ние,	M	ние,	M	ние,	M	ние,	M	ние,	M
ГАС	M		M		M		M		M	
ГАС	СЮ/ЗВ	СЮ/ЗВ	СЮ/ЗВ	СЮ/ЗВ	СЮ/ЗВ	СЮ/ЗВ	СЮ/ЗВ	СЮ/ЗВ	СЮ/ЗВ	СЮ/ЗВ

Хартма-	1,66 /		1,79 /		1,99 /		1,71 /		1,79 /	
на	1,49		2,13		2,03		1,62		1,82	_
4 – мет-	3,89 /	0,91 /	3,27 /	0,44 /	4,95 /	0,80 /	4,04 /	0,87 /	4,04 /	0,76 /
ровые	3,66	0,99	3,49	0,40	5,04	0,79	5,53	0,86	4,43	0,76
6 – мет-	5,65/	0,82 /	5,99 /	0,86 /	_	_	_	_	5,82 /	0,84 /
роыве	5,44	0,87	5,74	0,92					5,59	0,90
Курри*	7,28 / 7,29	0,63 / 0,53	6,62 / 6,82	0,57 / 0,64	6,51 / 8,49	0,45 / 0,50	6,25 / 5,51	0,57 / 0,55	6,67 / 7,03	0,56 / 0,56
10 – метро- вые	9,87 / 9,22	0,98 / 0,96	8,80 / 7,94	0,86 / 0,89	9,75 / 8,99	0,94 / 0,82	6,59 / 8,10	0,75 / 0,77	8,75 / 8,56	0,88 / 0,86
Витмана	14,38 / 14,34	1,01 / 1,18	15,31 / 15,11	1,11 / 1,14	15,68 / 14,34	1,31 / 1,20	10,36 / 12,12	1,09 / 1,05	14,46 / 13,92	1,16 / 1,17
Крым- ская	37,05 / 22,40	35,90 / 30,10	35,70 / 28,0	42,70 / 29,20	53,0 / 26,90	32,98 / 25,80	26,10 / 19,10	51,80 / 28,70	37,96 / 24,1	40,85 / 28,45

Таблица №2. Сезонные изменения морфометрических характеристик ГАС на площадках Крыма

Сезоны г	ода	31/	IMA	BE	СНА	ЛЕ	ЕТО	OCI	ЕНЬ	СРЕДН	HEE
Параметр ГАС	Параметры ГАС		Шири- на, м СЮ/ЗВ	Рассто- яние, м СЮ/ЗВ	Шири- на, м СЮ/ЗВ	Рассто- яние, м СЮ/ЗВ	Шири- на, м СЮ/ЗВ	Рассто- яние, м СЮ/ЗВ	Шири на, м СЮ/ ЗВ	Рассто- яние, м С/3	Шири- на, м С/3
Побед-	Хартман	1,52 / 1,41	_	1,52 / 1,40	_	1,53 / 1,39	_	1,93 / 1,67	_	1,63 / 1,47	_
ное	Курри *	7,35 / 7,62	_	7,84 / 8,38	_	8,33 / 9,14	0,63 / 0,53	5,6 / 4,0	_	7,28 / 7,29	0,63 / 0,53
	Витман	14,1 / 13,9	1,01 / 1,19	14,46 / 14,66	1,05 / 1,26	14,81 / 15,42	1,09 / 1,32	14,14 / 13,38	0,87 / 0,95	14,38/ 14,34	1,01 / 1,18
Симфе-	Хартман	1,45 / 1,66	_	1,91 / 1,84	_	1,95 / 2,50	_	1,85 / 2,53	_	1,79 / 2,13	_
рополь	Курри *	7,87 / 6,99	_	7,41 / 8,58	_	5,97 / 6,58	0,57 / 0,64	5,22 / 5,12	_	6,62 / 6,82	0,57 / 0,64
	Витман	14,05 / 15,30	1,14 / 1,32	15,45 / 17,85	1,25 / 1,24	13,75 / 11,60	0,94 / 0,87	18,0 / 15,70	_/_	15,31/ 15,11	1,11 / 1,14
Пере- вальное	Хартман	1,85 / 1,89	_	2,23 / 2,08	_	2,03 / 2,25	_	1,84 / 1,89	_	1,99 / 2,03	_
	Курри *	6,63 / 8,62	_	6,73 / 7,72	_	7,04 / 8,07	0,45 / 0,50	5,64 / 9,56	_	6,51 / 8,49	0,45 / 0,50
	Витман	15,30 / 14,10	1,48 / 1,33	18,14 / 14,92	1,36 / 1,15	12,56 / 14,43	0,95 / 0,92	16,70 / 13,90	1,45 / 1,38	15,68/ 14,34	1,31 / 1,20
Алушта	Хартман	1,70 / 1,49	_	1,68 / 1,84	_	1,84 / 1,64	_	1,60 / 1,52	_	1,71 / 1,62	_
	Курри *	3,34 / 3,08	_	8,45 / 7,79	_	5,90 / 5,41	0,57 / 0,55	7,32 / 5,77	_	6,25 / 5,51	0,57 / 0,55
	Витман	7,50 / 13,0	1,08 / 1,02	7,50 / 9,60	1,19 / 1,19	15,12 / 12,92	0,94 / 0,98	11,31 / 12,96	1,16 / 1,02	10,36/ 12,12	1,09 / 1,05

^{* -} для линий структуры Курри первыми указываются расстояние и ширина северо-восточного направления.

Таблица №3. Результаты измерений электропроводности почвенного покрова в пределах линий ГАС в с. Победное, Джанкойского района. Июнь – июль 2001 г.

Время,	Электропроводность						
Ч	почвы на ГАС, Сим х 10-3						
	Хартман	4-метров.	Курри	10-метров	Витман	Крымская	Среднее
2 3	0,088	0,075	0,123			0,056	0,079
4 5	0,111	0,078	0,069			0,056	0,074
6 7	0,115	0,097	0,085			0,083	0,096
7 8	0,154	0,128	0,111			0,093	0,118
8 9	0,101	0,078	0,097		0,09	0,063	0,083
11 12	0,101	0,088	0,119		0,102	0,066	0,092
12 13	0,082	0,077	0,105	0,082	0,082	0,093	0,089
16 17	0,081	0,068	0,089		0,069	0,098	0,079
17 18	0,083	0,081	0,086	0,086	0,093	0,074	0,083

18 19	0,083	0,09	0,056	_	0,081	0,089	0,078
19 20	0,099	0,089	0,098	0,108	0,093	0,072	0,092
20 21	0,189	0,114	0,156	_	0,081	0,1	0,116
Среднее	0,1	0,086	0.093	0.091	0.085	0.075	0,088

Таблица №4. Интенсивность электромагнитного поля Земли в пределах геоактивных структур, имп/сек. с. Победное, Джанкойский район, октябрь 2001 г.

ГАС		Крым-	Витмана	10 - мет-	Курри	6 - мет-	4 - мет-		Среднее
Время, час		ская		ровая		ровая	ровая	на	_
11 – 12		920	838	783	_	_	_	_	847
12 – 13		894	819	761	_	_	_	_	825
13 – 14		1103	1084	893	_	997	918	1043	1006
14 – 15		786	800	804	571	771	713	656	729
15 – 16		670	739	703	623	731	745	543	679
16 – 17		475	618	757	427	770	612	623	612
17 – 18		755	832	962	_	699	726	540	752
18 – 19		517	662	758	_	583	542	530	599
19 – 20		_	1393	848	_	729	1076	1086	1026
Среднее		765	865	808	540	754	761	717	786
Коэффициент корреляции меж-	Крым- ская	_	0,99	0,60	_	0,81	0,94	0,83	
ду ГАС по сред-	Витмана	0,99	_	0,48	_	0,36	0,97	0,90	
ним показателям	10 - м	0,60	0,48	_	_	0,32	0,42	0,37	
электромагнитно- го поля	Курри		_		_	_	_	_	
NICOII O	6 - м	0,81	0,94	0,32	_	_	0,49	0,63	
	4 – м	0,94	0,97	0,42	_	0,49	_	0,89	
	Хартма- на	0,83	0,90	0,37	_	0,63	0,89	_	

Таблица №5. Корреляционная зависимость между характеристиками ГАС (расстояние между линиями и их ширина) и природными компонентами на территории Крымского полуострова

_		ил ши	ірина) и					і террит	ории кр	DIMEROI	o nonyo	Строва
			Кс	эффици	иент кор	реляциі	1					
Параметры	Абсолют	ная высо	та	Солнечная радиация,			Температура воздуха,			Осадки, мм в год		
ландшафта	площадк	И, М		ккал			°C					
ГАС (расстоя-	С-Ю	3-B	Сред	С-Ю	3-B	Сред	С-Ю	3-B	Сред	С-Ю	3-B	Сред
ние)			нее			нее			нее			нее
Хартмана	0,93	0,93	0,99	-0,45	0,16	-0,04	-0,46	-0,46	-0,47	0,76	0,79	0,83
4-метровые	0,36	0,16	0,26	-0,83	-0,18	-0,49	-0,14	0,62	0,34	0,21	-0,39	-0,16
Курри	-0,52	0,53	0,29	-0,36	-0,79	-0,78	-0,58	-0,89	-0,94	0,14	0,85	0,76
10метровые	0,20	-0,20	0,09	-0,66	-0,93	-0,78	-0,97	-0,55	-0,89	0,75	0,23	0,63
Витмана	0,53	0,39	0,49	-0,40	-0,15	-0,32	-0,98	-0,92	-0,97	0,95	0,86	0,93
Крымская	0,66	0,77	0,74	-0,77	-0,1	-0,63	-0,80	-0,81	-0,86	0,85	0,97	0,94
(ширина)												
4-метровые	-0,54	-0,62	-0,52	-0,61	-0,63	-0,62	0,29	0,20	0,25	-0,53	-0,51	-0,52
Курри	-0,88	0,14	-0,47	0,44	0,80	0,73	0,25	-0,10	0,08	-0,58	0,21	-0,23
10метровые	0,02	-0,39	-0,16	-0,73	-0,14	-0,48	-0,89	-0,65	-0,84	0,60	0,27	0,50
Витмана	0,89	0,33	0,82	-0,46	-0,72	-0,65	-0,32	-0,97	-0,66	0,64	0,81	0,83
Крымская	-0,30	-0,80	-0,43	0,80	0,53	0,83	0,93	0,22	0,89	-0,76	0,51	-0,79

Таблица №6. Распределение растительного покрова в зависимости от расположения геоактивных структур. Победное, Джанкойский район

Вид	Всего,		H 10.0						Средний Кв по двум пло- щадкам		
		Витман шт.	Кв	10м., шт.	Кв	Курри, шт.	Кв	Витман	10м	Курри	
1. Полынь Австрийская	63 / 55	14 /30	2 /2	20 /38	2 /1,4	49 /33	2 /5,7	2,2	1,7	3,9	
2.Полынь обык- новенная	61 /65	8 /14	0,9/0,9	17 /25	1,4/0,8	24 / 24	0,9/2,1	0,9	0,8	2,1	

3. Полынь Крымская	1 /1	0 /0		0/0		0 / 1	/3,8	0,9	1,4	2,4
4.Тысячелистник	20 /10	7 /8	3,3/ 10	2/7	2,2/2,6	14 / 7	1,7/13	6,7	2,4	7,4
5. Овсяница	12 /4	1 /3	0,5/6,7	3 / 2	1 /1,2	3 / 2	2 /2,5	3,6	1,1	2,3
6. Подмаренник	21 /70	10 /32	5 /2	5 / 32	1,3/1,2	18 / 37	2 / 4,1	3,5	1,3	3,1
7. Муравейники (степные)	9 /13	3 /9	3/6	3 / 7	2 /2,1	7 / 4	4,7/0,9	4,5	2,1	2,8

Таблица №7. Корреляционная зависимость между средними характеристиками ГАС и расстоянием планет от Солнца.

ГАС	с. Победное	г. Симферополь	пос. Перевальное	г. Алушта	Планеты, их большая полу-
	Расстояние меж,	ду линиями ГАС, м	ı / Ширина линий Г <i>А</i>	АС, м	ось орбиты, млн км
1. Хартман	1,58 / 0,25	1,96 / 0,25	2,01 / 0,25	1,74 / 0,25	Меркурий 57,9
2. 4 - метровые	3,78 / 0,95	3,38 / 0,42	5,0 / 0,80	4,79 / 0,87	Венера 108,1
3. Курри	7,29 / 0,88	6,72 / 0,61	7,42 / 0,48	5,88 / 0,56	Земля 149,5
4. 10 - метровые	9,55 / 0,97	8,37 / 0,88	9,37 / 0,88	7,35 / 0,76	Mapc 227,8
5. Витман	14,36 / 1,10	15,21 / 1,12	15,01 / 1,26	11,24 / 1,07	Пояс астероидов 422,8
6. Крымская	29,73 / 33,0	31,85 / 35,95	39,95 / 29,39	22,6 / 40,25	Юпитер 777,8
Коэффициент корреляции	0,99 / 0,89	0,99 / 0,89	0,983 / 0,894	0,99 / 0,89	